

sent and received in portions of  $n$  walks each, the total of

$$\frac{N}{(P-1)n}$$

communications are needed for all of the  $N$  experiments to exchange messages between the senior and executive processes. Time  $c$  spent on one such exchange is a constant and is consumed for sending one integer value and three floating-point values.

Since work on portions of the tasks does not require any synchronization between the executive processes, the time consumed by the entire group of processors for parallel calculations is  $P - 1$  times

smaller than in the case of the sequential implementation. Thus, estimation for the time complexity of the parallel algorithm can be presented in the following form:

$$T(N, P) = \frac{T(N)}{(P-1)} + \frac{N}{(P-1)n}c \quad (15)$$

This time complexity is quite good and demonstrates high parallelization efficiency, which fully justifies additional resources spent on development, implementation and launch of the respective software.

#### Література

1. Dekhtyaryuk, E.S. & Syniavsky, O.L. 1978. Solving elasticity theory problems by Monte Carlo method. 8-th International congress for applied mathematics in engineering, Weimar.
2. Muller M. E. 1956. Some continuous Monte Carlo method for the Dirichlet problem. Ann. Math. Stat., 27, (3).
3. Sabelfeld K. K. & Shalimova I. A. 1997. Spherical means for PDEs. VSP, Utrecht.
4. Sabelfeld, K. K. 1991. Monte Carlo Methods in Boundary Value Problems. Springer-Verlag, Berlin.
5. Varvaak, L. P., Dekhtyaryuk, E. S., Reutfarb, I. Z., Syniavsky, O. L. & Khimenko, V. V., 1973. Solving the spatial problem of elasticity theory by the method of statistical experiments. Resistance of materials and structural theory, 20, Kyiv.

Синявський О. Л., Кислоокій В. М., Хоменко О. І.

## ПАРАЛЕЛЬНИЙ АЛГОРИТМ РОЗВ'ЯЗАННЯ ПЕРШОЇ КРАЙОВОЇ ЗАДАЧІ ТЕОРІЇ ПРУЖНОСТІ В 3-ВИМІРНОМУ ПРОСТОРИ ЗА МЕТОДОМ МОНТЕ-КАРЛО

*Роботу присвячено розв'язанню першої крайової задачі теорії пружності для 3-вимірних тіл довільної форми та зв'язності.*

*Наш підхід полягає у розробленні методу блукання сферами для знаходження розв'язку системи диференціальних рівнянь 6-го порядку, яка відповідає цій задачі. Запропонований алгоритм є паралельним і розрахованим на виконання на високопродуктивних обчислювальних кластерах.*

**Ключові слова:** алгоритм блукання сферами, метод Монте-Карло, перша крайова задача, теорія пружності, паралельний алгоритм.

Матеріал надійшов 14 червня 2011 р.

УДК 519.854

Шило В. П., Градинар І. П., Ляшко В. І.

## НАБЛИЖЕНИЙ АЛГОРИТМ ЗНАХОДЖЕННЯ МАКСИМАЛЬНОГО $K$ -PLEX (CO- $K$ -PLEX) ГРАФУ

*У розвідці запропоновано та досліджено наближений алгоритм розв'язання задачі знаходження максимального  $k$ -plex (co- $k$ -plex) графу, який дав змогу покращити рекорди для деяких задач.*

**Ключові слова:** граф,  $k$ -plex, co- $k$ -plex, незалежна множина, кліка, соціальні мережі, біологічні мережі.

#### Вступ

Останнім часом зріс інтерес до задач на мережах, які зводяться до задач на графах. Серед них широке практичне застосування [2, 5] має задача

знаходження максимального  $k$ -plex (co- $k$ -plex) графу, яка виникає, зокрема, при аналізі соціальних, біологічних, фінансових та ін. мереж. Поняття  $k$ -plex графу введено 1978 р. у праці [6], а

в [2] сформульовано проблему знаходження максимального  $k$ -plex графу як задачу цілочислового програмування та доведено її NP-складність.

У цій розвідці представлено наближений алгоритм знаходження максимального  $k$ -plex (со- $k$ -plex) графу, в якому враховано переваги запропонованих в [1] наближених алгоритмів дискретної оптимізації. Наведено результати застосування даного алгоритму до DIMACS-графів, для багатьох з них покращено відомі з літератури рекорди для  $k$ -plex (со- $k$ -plex) графів.

### Позначення та визначення

Нехай задано неорієнтований граф  $G(V, E)$ , в якому  $V$  – множина вершин,  $E$  – множина ребер. Позначимо  $N(v)$  множину вершин графу  $G$ , зв'язаних з вершиною  $v \in V$ , а  $deg_G(v)$  – кількість таких вершин. Нехай  $G[V'] = (V', E \cap (V' \times V'))$  – підграф графу  $G(V, E)$ , породжений підмножиною  $V' \subset V$ .

Клікою в графі  $G$  називається підмножина множини  $V$  вершин, які всі попарно зв'язні між собою. Незалежною множиною в графі  $G$  називається підмножина множини  $V$  вершин, які всі попарно не зв'язні між собою [1].

Розглянемо більш загальні поняття:  $k$ -plex та со- $k$ -plex [2, 5, 6]. Будемо вважати, що  $k \in \mathbb{N}$  і  $k \geq 1$ .

**Означення 1.** Множина  $K \subset V$  називається  $k$ -plex в графі  $G(V, E)$ , якщо

$$\forall v \in K \ deg_{G[K]}(v) \geq |K| - k. \quad (1)$$

**Означення 2.** Множина  $C \subset V$  називається со- $k$ -plex в графі  $G(V, E)$ , якщо

$$\forall v \in C \ deg_{G[C]}(v) \leq k - 1. \quad (2)$$

На рис. 1 наведено приклади  $k$ -plex та со- $k$ -plex графів.

1-plex – кліка графу, со-1-plex – незалежна множина. Справедливе твердження, що со- $k$ -plex в графі  $G$  є  $k$ -plex у його доповненні. Неважко також показати, що для будь-яких  $k_1 < k_2$ , всякий  $k_1$ -plex є  $k_2$ -plex-ом, а будь-який со- $k_1$ -plex є со- $k_2$ -plex-ом.

Задача знаходження максимального  $k$ -plex (со- $k$ -plex) графу полягає в побудові  $k$ -plex (со- $k$ -plex) максимальної потужності.

### Переваги застосування $k$ -plex графу

Довільну мережу можна представити у вигляді графу, вершинам якого відповідають її учасники (ними можуть бути населені пункти, банки, компанії, люди, нейрони і т. д.), а ребра вказують на зв'язки між ними. Часто у мережі виникає потреба у виділенні підгрупи з великою щільністю. Під щільністю мережі (або її підгрупи) розуміємо відношення кількості зв'язків, що існують між її учасниками до максимально можливої кількості таких зв'язків. Аналогічно, щільність графу – це відношення кількості ребер до максимально можливої їх кількості.

Незважаючи на можливість використання клік, у багатьох задачах на мережах, вони насправді не завжди пасують для визначення підгруп у них з великою щільністю [5]. Це пояснено необхідністю існування зв'язків між всіма парами вершин, що належать до кліки у відповідному графі, та вмотивовує розгляд релаксації (послаблення) кліки. Серед видів релаксації кліки виділяють [2]  $k$ -clique,  $k$ -club та  $k$ -plex, останній з яких розглянуто тут.

Нехай у деякій великій мережі виділено певну підмережу з кількістю учасників  $n=2m$  ( $m \in \mathbb{N}$ ), причому кожен з них не має зв'язку тільки з одним з інших учасників, а зв'язаний з  $n-2$  іншими учасниками. Щільність відповідного такої підмережі графу дорівнює  $(n-2)/(n-1)$  і є близькою до 1 при великих  $n$ . Хоча всі вершини перебувають у дуже сильному зв'язку між собою, максимальна кліка (1-plex) буде мати потужність лише  $n/2$  незалежно від величини  $n$ . Кількість таких максимальних клік –  $2^m$ . Натомість максимальний 2-plex буде містити всі  $n$  вершин цього графу (удвічі більше, ніж у максимальній кліці). Наприклад, при  $n=2000$  кожна вершина зв'язна з 1998-ма іншими вершинами, а щільність графу становить 0,9995. Проте максимальна кліка складається тільки з 1000 вершин. Тоді як 2-plex

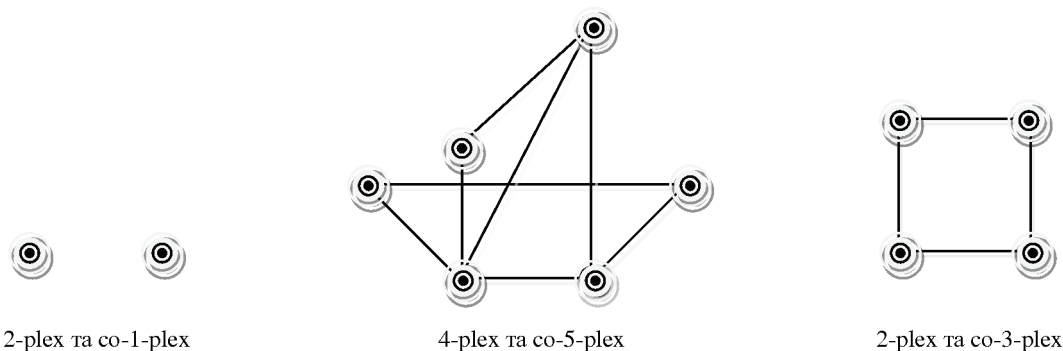


Рис. 1. Приклади  $k$ -plex та со- $k$ -plex

складається з усіх 2000 вершин. Такі графи при  $n = 6$  та  $n = 8$  представлено на рис. 2.

Приклад демонструє переваги використання  $k$ -plex графу для виявлення у мережі підгруп з великою щільністю. Задача знаходження максимального  $k$ -plex (со- $k$ -plex) графу має практичне застосування до найрізноманітніших мереж, що існують у реальності.

### Алгоритм

Нехай задано граф  $G(V, E)$ . Потрібно побудувати максимальний  $k$ -plex (со- $k$ -plex). Позначимо його  $K$ .

Для  $\forall v \in K$  повинна виконуватися умова (1) або (2) належності до  $k$ -plex чи со- $k$ -plex, відповідно.

Будь-яка вершина  $v$ , що претендує на вибір в  $K$ , повинна задовольняти умові:

$$\forall v' \in K \cup \{v\} \deg_{G[K \cup \{v\}]}(v') \geq |K \cup \{v\}| - k \quad (3)$$

$$(\forall v' \in K \cup \{v\} \deg_{G[K \cup \{v\}]}(v') \leq k - 1).$$

Наближений алгоритм розв'язання задачі побудови максимального  $k$ -plex (со- $k$ -plex) графу полягає в наступному. Спочатку покладемо  $K = \emptyset$ . Тоді всі вершини графу  $G(V, E)$  задовольняють умові (3). Рандомізовано вибираємо для занесення у множину  $K$  таку вершину, яка задовольняє умові (3) та порушить її для мінімальної кількості інших вершин. Цей процес повторюємо до тих пір, поки існують вершини, що задовольняють умові (3). Далі задля побудови більшого  $k$ -plex (со- $k$ -plex) видаляємо з множини  $K$  декілька випадково вибраних вершин і знову, керуючись вище описаним правилом вибору вершин, поповнюємо  $K$ . Останню дію повторюємо до виконання певного критерію (наприклад, часу для розв'язання задачі, досягнення заданої потужності множини  $K$  та ін.).

Слід зазначити, що іноді (з малою ймовірністю) може здійснюватися випадковий вибір вер-

шин для занесення в множину  $K$  не тільки серед таких, що порушують умову (3) для мінімальної кількості вершин, а й серед усіх, які ще можуть бути занесені в  $K$ .

Загальну схему алгоритму можна зобразити:

1.  $largest\_cardinality = 0$ ;
2. **while**  $global\_criterion()$
3.  $K = \emptyset$ ;
4.  $filling\_K()$ ;
5. **if**  $largest\_cardinality < |K|$
6.  $largest\_cardinality = |K|$ ;
7. **end if**
8. **while**  $local\_criterion()$
9.  $i = choosing\_value()$ ;
10.  $deleting\_some\_verticies\_from\_K(i)$ ;
11.  $filling\_K()$ ;
12. **if**  $largest\_cardinality < |K|$
13.  $largest\_cardinality = |K|$ ;
14. **end if**
15. **end while**
16. **end while**
17. **return**  $largest\_cardinality$

На основі запропонованого алгоритму розроблено програмне забезпечення, налаштоване на знаходження  $k$ -plex та со- $k$ -plex графу для будь-якого  $k$ . Крім того, розроблено модифікацію алгоритму для знаходження  $k$ -plex (со- $k$ -plex) максимальної ваги ( $w_i \in \mathbb{R}$ ,  $i = 1, \dots, |V|$ ) в графі при довільному  $k$ .

### Результати обчислювального експерименту

Для тестування наближеного алгоритму ми вибрали DIMACS-графи [3, 4]. Перелік цих графів, їх розмірності, а також відомі з літератури рекорди  $k$ -plex для них наведено в табл. 1. Конфігурація комп'ютера, на якому здійснювались обчислювальні експерименти (при завантаженні 25 %): Intel® Core™2 Quad CPU, Q9550 @

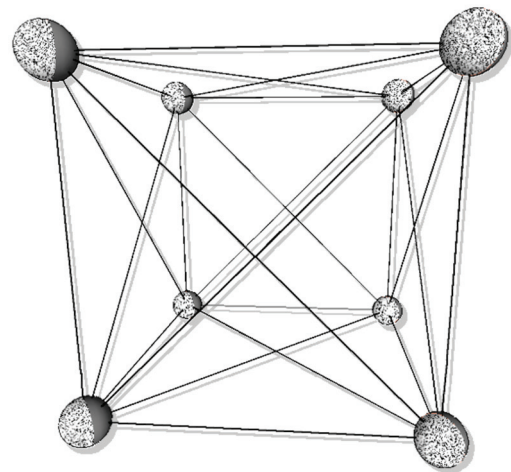
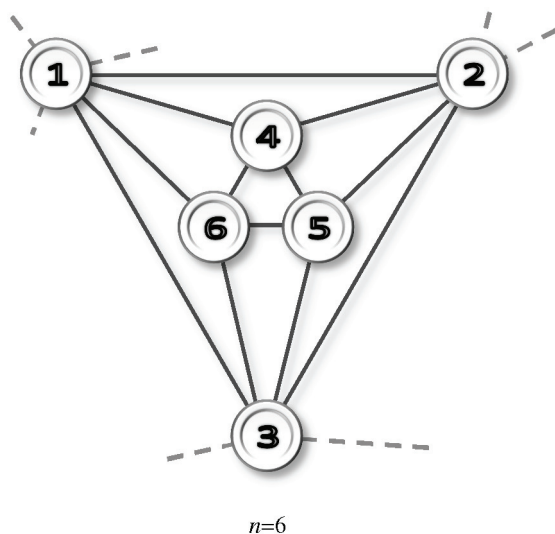


Рис. 2. Приклади 2-plex

2.83GHz, 8,00GB RAM. Визначений для кожного графу максимальний час за певного значення  $k$  – одна година. Результати розв'язання поставленої задачі запропонованим алгоритмом для тестових графів при  $1 \leq k \leq 3$  представлено в табл. 1.

З результатів аналізу розрахунків випливає, що за допомогою наближеного алгоритму покращено відомі нам рекорди 2-plex для 8-ми графів та 3-plex для 13-ти графів. Для 25-ти графів

одержано відомі з літератури рекорди 2-plex та для 21-го графу відомі рекорди 3-plex, причому, багато значень є точними. При застосуванні наближеного алгоритму до задачі знаходження максимальної кліки (1-plex), а до неї застосовано вже чимало алгоритмів, одержано відомі значення потужності для 58-ми графів (значна частина цих значень також є точними), а для 8-ми графів їх не досягнуто.

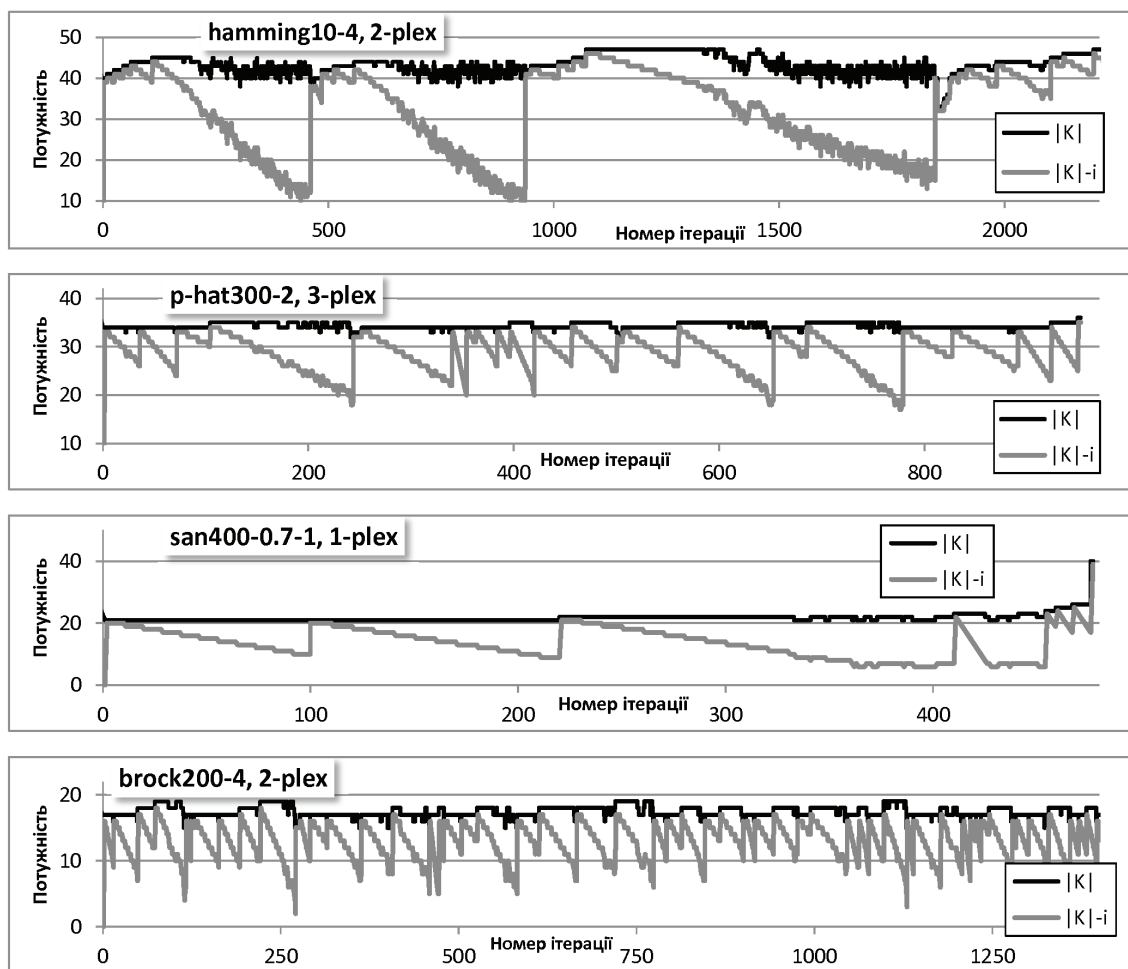


Рис 3. Схематичні ілюстрації роботи алгоритму

Графіки на рис. 3 схематично ілюструють роботу запропонованого алгоритму. Для кожного прикладу верхній графік ( $|K|$ ) відображає зміну потужності максимального по включенню  $k$ -plex, а нижній ( $|K|-i$ ) – зміну потужності цієї множини в моменти, коли з неї видалено  $i$  вершин.

### Висновки

Порівнявши одержані рекорди для  $k$ -plex графу та час їх знаходження з відомими з досліджень результатами (напр., з [5]), можна дійти висновку, що запропонований алгоритм знаходження максимального  $k$ -plex (со- $k$ -plex) графу проявляє прийнятну ефективність.

Таблиця 1. Результати обчислювальних експериментів

№	$G(V,E)$	1-plex				2-plex				3-plex			
		Відома потужність	Одержана потужність	Час, с	Верхня оцінка	Відома потужність	Одержана потужність	Час, с	Верхня оцінка	Відома потужність	Одержана потужність	Час, с	Верхня оцінка
1	brock200-1	21	21	0,000	21	25	26	0,015	53	28	30	0,000	139
2	brock200-2	12	12	0,688	12	13	13	0,015	13	15	16	6,125	89

№	$G(V,E)$	1-plex				2-plex				3-plex			
		Відома потужність	Одержана потужність	Час, с	Верхня оцінка	Відома потужність	Одержана потужність	Час, с	Верхня оцінка	Відома потужність	Одержана потужність	Час, с	Верхня оцінка
3	brock200-3	15	15	6,453	15		17	0,016	–		20	0,093	–
4	brock200-4	17	17	1,657	17	20	20	0,359	41	22	23	0,875	122
5	brock400-1	27	25	0,203	27		30	0,031	–		36	13,547	–
6	brock400-2	29	25	0,204	29	28	30	0,422	133	31	36	2,343	267
7	brock400-3	31	31	228,094	31		30	1,172	–		36	0,125	–
8	brock400-4	33	33	742,000	33	33	31	47,032	133	33	36	0,594	265
9	brock800-1	23	21	1,187	23		25	3,375	–		29	42,797	–
10	brock800-2	24	21	1,593	24	23	25	5,109	221	26	30	1481,391	401
11	brock800-3	25	22	95,235	25		25	16,562	–		30	1899,453	–
12	brock800-4	26	21	2,172	26	23	25	5,875	223	25	29	11,704	410
13	c-fat200-1	12	12	0,000	12	12	12	0,000	12	12	12	4,562	12
14	c-fat200-2	24	24	0,000	24	24	24	0,000	24	24	24	0,062	24
15	c-fat200-5	58	58	0,000	58	58	58	0,000	58	58	58	0,016	58
16	c-fat500-1	14	14	0,000	14	14	14	0,047	14	14	14	369,860	14
17	c-fat500-2	26	26	0,000	26	26	26	0,031	26	26	26	198,078	26
18	c-fat500-5	64	64	0,000	64	64	64	0,031	64	64	64	0,218	64
19	c-fat500-10	126	126	0,000	126	126	126	0,047	126	126	126	0,156	126
20	hamming6-2	32	32	0,000	32	32	32	0,000	32	32	32	0,000	32
21	hamming6-4	4	4	0,000	4	6	6	0,000	6	8	8	0,000	8
22	hamming8-2	128	128	0,000	128	128	128	0,000	128	128	128	0,000	128
23	hamming8-4	16	16	0,000	16	16	16	0,000	16	18	20	0,015	48
24	hamming10-2	512	512	0,000	512	512	512	0,000	512	512	512	0,000	768
25	hamming10-4	40	40	0,032	40	43	48	0,015	128	64	64	6,282	192
26	johnson8-2-4	4	4	0,000	4	5	5	0,000	5	8	8	0,000	8
27	johnson8-4-4	14	14	0,000	14	14	14	0,000	14	18	18	0,000	18
28	johnson16-2-4	8	8	0,000	8		10	0,000	–		16	0,000	–
29	johnson32-2-4	16	16	0,000	16		21	0,000	–		32	1,141	–
30	keller4	11	11	0,000	11	15	15	0,000	15	21	21	0,015	88
31	keller5	27	27	0,015	27		31	0,000	–		45	1,547	–
32	keller6	59	59	67,032	–		63	0,062	–		93	82,765	–
33	MANN-a9	16	16	0,000	16	26	26	0,000	26	36	36	0,000	36
34	MANN-a27	126	126	0,016	126	236	236	0,000	236	351	351	0,000	366
35	MANN-a45	345	344	0,610	345	662	662	0,000	668	990	990	0,000	108
36	MANN-a81	1100	1098	31,016	–		2162	0,078	–		3240	0,015	–
37	p-hat300-1	8	8	0,000	8	10	10	0,110	10	12	12	0,328	12
38	p-hat300-2	25	25	0,000	25	30	30	0,016	30	35	36	0,000	129
39	p-hat300-3	36	36	0,000	36	43	44	0,000	108	51	52	0,000	201
40	p-hat500-1	9	9	0,000	9		12	1,078	–		14	0,563	–
41	p-hat500-2	36	36	0,000	36		42	0,000	–		50	0,094	–
42	p-hat500-3	50	50	0,000	–		62	0,000	–		72	0,312	–
43	p-hat700-1	11	11	0,063	11	13	13	0,187	13	14	15	5,156	123
44	p-hat700-2	44	44	0,000	208	51	52	0,015	146	58	62	0,015	272
45	p-hat700-3	62	62	0,000	201	73	76	0,031	243	84	89	0,031	428
46	p-hat1000-1	10	10	0,016	10		13	0,578	–		15	0,078	–
47	p-hat1000-2	46	46	0,031	–		56	0,203	–		67	0,203	–
48	p-hat1000-3	68	68	0,047	–		82	0,063	–		98	0,047	–
49	p-hat1500-1	12	12	13,265	12		14	4,875	–		17	2712,375	–
50	p-hat1500-2	65	65	0,016	–		80	0,125	–		93	0,188	–
51	p-hat1500-3	94	94	0,047	–		114	0,047	–		133	0,047	–
52	san200-0.7-1	30	30	0,000	30		31	0,000	–		46	0,078	–
53	san200-0.7-2	18	18	0,531	18	26	26	0,016	79	36	37	0,016	140
54	san200-0.9-1	70	70	0,000	70	90	90	0,000	127	125	125	0,000	125
55	san200-0.9-2	60	60	0,016	60		71	0,000	–		105	0,000	–
56	san200-0.9-3	44	44	0,016	44		54	0,015	–		73	0,000	–
57	san400-0.5-1	13	13	0,047	13		15	0,016	–		22	0,047	–
58	san400-0.7-1	40	40	0,094	40		41	0,031	–		61	33,531	–
59	san400-0.7-2	30	30	0,047	30		32	0,125	–		46	0,031	–
60	san400-0.7-3	22	22	0,156	22		27	0,078	–		38	0,093	–
61	san400-0.9-1	100	100	0,000	100		102	0,032	–		150	0,000	–
62	san1000	15	15	0,718	15		18	180,672	–		25	58,922	–
63	sanr200-0.7	18	18	0,000	18		22	0,046	–		26	0,031	–
64	sanr200-0.9	42	42	0,000	42		51	0,016	–		61	0,468	–
65	sanr400-0.5	13	13	0,500	13		15	0,188	–		18	0,156	–
66	sanr400-0.7	21	21	0,172	21		26	0,235	–		30	0,843	–

## Література

- Сергиенко И. В. Задачи дискретной оптимизации : проблемы, методы решения, исследования / И. В. Сергиенко, В. П. Шило. – К. : Наук думка, 2003. – 264 с.
- Balasundaram B. Clique relaxations in social network analysis : The maximum  $k$ -plex problem [e-resource]: (B. Balasundaram. Journal publications) / B. Balasundaram, S. Butenko, I. V. Hicks // Operations Research – December 8, 2009. – Режим доступу: <http://iem.okstate.edu/baski/files/kplex4web.pdf>. – Назва з екрана.
- Clique Benchmark Instances [e-resource]: (Penn State Harrisburg Math/Computer Sciences home page). – Режим доступу: <http://cs.hbg.psu.edu/benchmarks/clique.html>. – Назва з екрана.
- DIMACS: Maximum clique, graph coloring, and satisfiability. Second DIMACS implementation challenge [e-resource]: (The



- site of DIMACS Implementation Challenges). – Режим доступу : <http://dimacs.rutgers.edu/Challenges/>. – Назва з екрана.
5. Hicks I. V. Combinatorial Algorithms for the Maximum  $k$ -plex Problem [e-resource]: (I. V. Hicks. Papers) / I. V. Hicks, B. McClosky // Journal of Combinatorial Optimization. – Режим доступу : <http://www.caam.rice.edu/~ivhicks/CombiOptPaper-1.pdf>. – Назва з екрана.
  6. Seidman S. B. A graph theoretic generalization of the clique concept / S. B. Seidman, B. L. Foster // Journal of Mathematical Sociology. – 1978. – № 6. – P. 139–154.

*V. Shylo, I. Gradinar, V. Lyashko*

## AN APPROXIMATE ALGORITHM FOR FINDING MAXIMUM $K$ -PLEX (CO- $K$ -PLEX) IN A GRAPH

*In the paper an approximate algorithm for solving the maximum  $k$ -plex (co- $k$ -plex) problem in a graph was proposed and studied. This algorithm improved the records for some benchmarks.*

**Keywords:** graph,  $k$ -plex, co- $k$ -plex, independent set, clique, social networks, biological networks.

Матеріал надійшов 5 травня 2011 р.

УДК 004.42:510.69

*Шкільняк С. С.*

## ВІДНОШЕННЯ ЛОГІЧНОГО НАСЛІДКУ ДЛЯ МНОЖИН ФОРМУЛ У КОМПОЗИЦІЙНО-НОМІНАТИВНИХ ЛОГІКАХ

*Розглянуто відношення логічного наслідку для композиційно-номінативних логік часткових однозначних, тотальних неоднозначних та часткових неоднозначних квазіарних предикатів. Запропоновано різні формалізації відношення логічного наслідку для множин формул. Досліджено властивості таких формалізацій в різних семантиках для загального випадку логік квазіарних предикатів, для логік еквітонних і логік антитонних предикатів.*

**Ключові слова:** логіка, предикат, композиційно-номінативний підхід, семантика, логічний наслідок.

Поняття логічного наслідку належить до центральних понять логіки. Воно може бути формалізованим за допомогою відношень логічного наслідку. Різноманітні відношення та нестандартні семантики для пропозиційної логіки досліджені О. Д. Смирною [3]. Подібні семантики та відношення узагальнено [4] для композиційно-номінативних логік квазіарних предикатів.

Композиційно-номінативними названі логіки, які будуються на основі композиційно-номінативного підходу [2]. Цей підхід до побудови моделей програм та орієнтованих на них логік виявився дуже плідним: на його базі розроблено широкий спектр логічних формалізмів різних рівнів абстрактності та загальності. Композиційно-номінативні логіки (КНЛ) базуються на загальних класах часткових відображень, заданих на довільних наборах іменованих значень. Такі відображення названо квазіарними. Передумовою виникнення КНЛ стала необхідність

посилення можливостей класичної логіки для розв'язку нових задач інформатики й програмування.

Метою цієї розвідки є дослідження відношень логічного наслідку для множин формул КНЛ часткових однозначних, тотальних неоднозначних і часткових неоднозначних квазіарних предикатів реномінативного та кванторного рівнів. Логіки часткових однозначних предикатів – це логіки з неокласичною семантикою, тотальних неоднозначних – із пересиченою семантикою, часткових неоднозначних – із загальною семантикою.

Поняття, які не визначено у цій розвідці, будемо тлумачити за працями [1, 4].

### 1. Квазіарні предикати та їх композиції. Мови КНЛ

Під предикатом на множині  $D$  розуміємо довільну функцію вигляду  $P : D \rightarrow \{T, F\}$ , де  $\{T, F\}$  – множина істиннісних значень.